

CALIBRATION DE L'ÉCHELLE D'ÉNERGIE DES JETS ET MESURE DE LA MASSE DU QUARK TOP DANS LE CANAL SEMI-LEPTONIQUE AVEC LE DÉTECTEUR ATLAS AU LHC

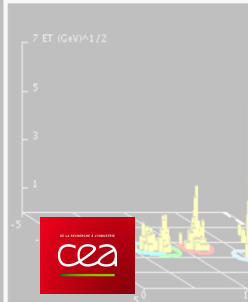
Fabrice Balli – Service de Physique des Particules
Directeur de thèse: Bruno Mansoulié
Encadrant de thèse: Jérôme Schwindling

2013/07/03



158975, Event Number: 21437359

Date: 2010-07-12 07:04:37 CEST



- 1 Le LHC et ATLAS
- 2 Le quark top
 - Introduction
 - La masse du quark top
 - Production et détection d'événements $t\bar{t}$ dans ATLAS
- 3 Calibration de l'échelle d'énergie des jets dans l'expérience ATLAS
- 4 Mesure de la masse dans le canal $\ell + \text{jets}$ à l'aide de la méthode des templates 3D
 - Sélection et reconstruction des événements $t\bar{t}$
 - Principe de la méthode
 - Résultat obtenu dans les données à 7 TeV
 - Perspectives à 8 TeV
- 5 Résumé et plans futurs

1 Le LHC et ATLAS

2 Le quark top

- Introduction
- La masse du quark top
- Production et détection d'événements $t\bar{t}$ dans ATLAS

3 Calibration de l'échelle d'énergie des jets dans l'expérience ATLAS

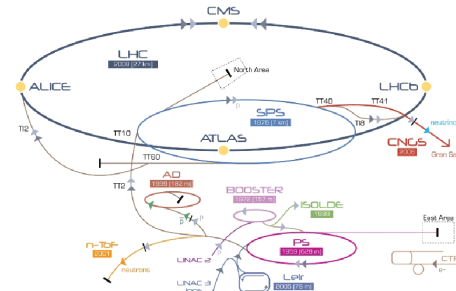
4 Mesure de la masse dans le canal $\ell + \text{jets}$ à l'aide de la méthode des templates 3D

- Sélection et reconstruction des événements $t\bar{t}$
- Principe de la méthode
- Résultat obtenu dans les données à 7 TeV
- Perspectives à 8 TeV

5 Résumé et plans futurs

L'accélérateur de particules

Le LHC (collisionneur proton-proton) :

- 27 km de circonférence
 - 9593 aimants supraconducteurs
 - Premières collisions en Décembre 2009
 - Le plus énergétique en fonctionnement : 7(8) TeV dans le centre de masse en 2011(2012) (14 TeV à énergie nominale)
 - Collisions de 1380x1380 paquets de protons x protons, temps entre 2 croisements : 50ns
 - 4 points de collision avec leurs détecteurs associés : LHCb, ALICE, CMS et ATLAS.
- 
- The diagram illustrates the LHC's injection system. Particles start at LINAC 1 (protons) and LINAC 3 (ions), which feed into LINAC 2. LINAC 2 then feeds into the Booster Synchrotron. From the Booster, particles enter the Super Proton Synchrotron (SPS). The SPS leads to the Large Hadron Collider (LHC). Four major detectors are shown: CMS (top), ALICE (left), ATLAS (bottom), and LHCb (right). The diagram also shows the North Area and South Area of the accelerator complex.
- Schéma d'injection du LHC

Le détecteur ATLAS : A T_{oroidal} LHC ApparatuS

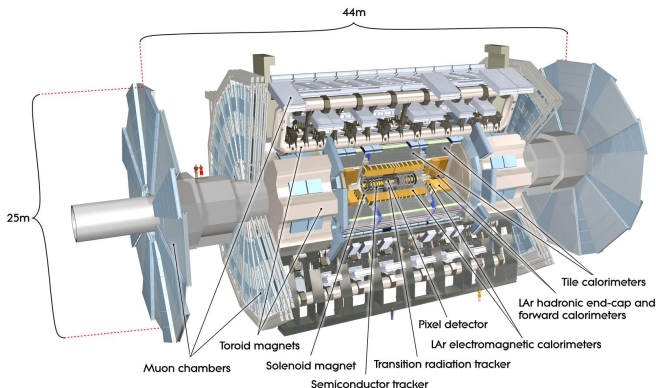


Schéma du détecteur

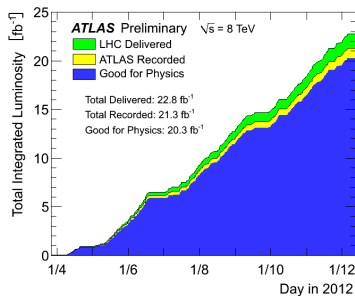
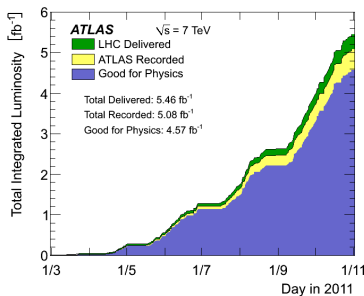
But : identification des particules, mesure de leur énergie, de leur direction ($\phi, \eta = -\ln(\tan \frac{\theta}{2})$), de leur impulsion (p_T) dans le plan transverse

Principaux sous-systèmes :

- Le détecteur de traces interne
- Le calorimètre électromagnétique
- Le calorimètre hadronique
- Le spectromètre à muons
 - ▶ L'aimant toroïdal

La prise de données

- Luminosité intégrée ($\mathcal{L} = N^{\text{events}}/\sigma_{pp}$) enregistrée:
 - ▶ $\sim 5 \text{ fb}^{-1}$ (2011)
 - ▶ $\sim 20 \text{ fb}^{-1}$ (2012)



- Plusieurs Po de données par an \Rightarrow Répartition sur une grille informatique d'envergure mondiale

1 Le LHC et ATLAS

2 Le quark top

- Introduction
- La masse du quark top
- Production et détection d'événements $t\bar{t}$ dans ATLAS

3 Calibration de l'échelle d'énergie des jets dans l'expérience ATLAS

4 Mesure de la masse dans le canal $\ell + \text{jets}$ à l'aide de la méthode des templates 3D

- Sélection et reconstruction des événements $t\bar{t}$
- Principe de la méthode
- Résultat obtenu dans les données à 7 TeV
- Perspectives à 8 TeV

5 Résumé et plans futurs

└ Le quark top

└ Introduction

- Partenaire $SU(2)_L$ du quark b :

$$Q = +\frac{2}{3}e, T_3 = 1/2$$

- Après le 4 Juillet 2012, le top est toujours la particule élémentaire connue la plus lourde (≈ 173 GeV).

- ▶ Mystère inexpliqué du Modèle Standard
- ▶ Intérêts à la mesure précise de la masse détaillés dans la suite

- couplage de Yukawa ≈ 1

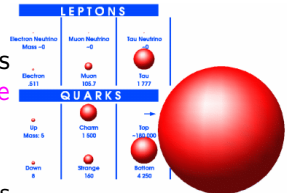
- ▶ Rôle particulier dans la brisure de symétrie électrofaible?

- Largeur au NLO:

$$\Gamma_{top} = \frac{G_\mu m_{top}^3}{8\pi\sqrt{2}} |V_{tb}|^2 \left(1 - \frac{m_W^2}{m_{top}^2}\right)^2 \left(1 + 2\frac{m_W^2}{m_{top}^2}\right) \left[1 - \frac{2\alpha_s}{3\pi} \left(\frac{2\pi^2}{3} - 5/2\right)\right] \approx 1.5 \text{ GeV}$$

- ▶ \Rightarrow temps de vie $\approx 5 \cdot 10^{-25} \text{ s} <<$ temps d'hadronisation

- Physique au-delà du Modèle Standard: de nombreuses nouvelles particules se coupleraient au top
 - ▶ \Rightarrow Études des propriétés peuvent mener à des découvertes de nouvelle physique!



1 Le LHC et ATLAS

2 Le quark top

- Introduction
- **La masse du quark top**
- Production et détection d'événements $t\bar{t}$ dans ATLAS

3 Calibration de l'échelle d'énergie des jets dans l'expérience ATLAS

4 Mesure de la masse dans le canal $\ell + \text{jets}$ à l'aide de la méthode des templates 3D

- Sélection et reconstruction des événements $t\bar{t}$
- Principe de la méthode
- Résultat obtenu dans les données à 7 TeV
- Perspectives à 8 TeV

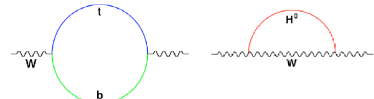
5 Résumé et plans futurs

└ Le quark top

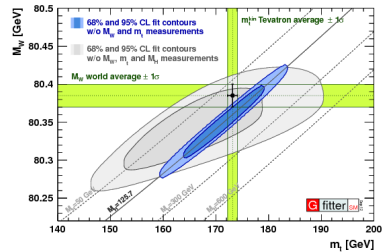
└ La masse du quark top

L'ajustement électrofaible

- Dans le Modèle Standard, il existe une relation entre la masse du quark top, la masse du boson W et **la masse du boson de Higgs**
 - Permet de vérifier la **compatibilité du MS avec les observations** en utilisant la masse du nouveau boson (ajustement électrofaible)
- Intérêt à mesurer avec une précision inférieure au %
- Il existe aussi des ajustements pour la physique au-delà du modèle standard (e.g sensibilité des paramètres S,T,U)



Corrections à une boucle au propagateur du boson W

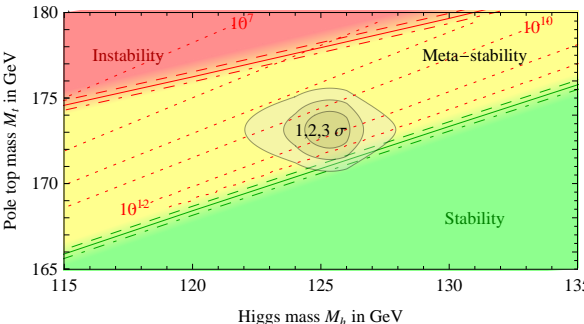


Ajustement électrofaible

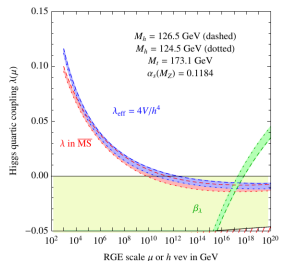
└ Le quark top

└ La masse du quark top

■ Information sur la stabilité du vide (plan $m_{\text{top}}-m_h$)



- $\lambda(\mu) > 0$: vide électrofaible est un minimum global
- $\lambda(\mu) < 0$: vide électrofaible est métastable



■ Potentiel de Higgs de la forme:

$$V = -m^2|\Phi|^2 + \lambda(\mu)|\Phi|^4$$

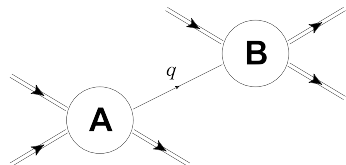
■ Stabilité dépend du signe de $\lambda(\mu)$

■ Si MS est toujours valide à l'échelle de Planck, quel est le signe de $\lambda(\mu)$ à cette échelle ?

- NB: Potentiel éventuellement non borné mais il faut: temps de transit < âge de l'Univers (métastable)

Quelle masse mesure-t-on?

- Il y a **plusieurs définitions de la masse du quark top**
 - ▶ dépend du schéma de renormalisation dans lequel on se place!
- Usuellement : **masse au pôle m_{top}^{pole}**
 - ▶ Partie réelle du pôle du propagateur du quark top (schéma OS)
 - ▶ $S_{ij}(p) = \frac{i\delta_{ij}}{p - m_0 - \Sigma(p) - i\epsilon}$
 - ▶ Problème intrinsèque à la QCD: pas de quark libre
⇒ **ambiguité intrinsèque $\mathcal{O}(\Lambda_{QCD})$**
- Autres schémas plus appropriés pour m_{top} (e.g \overline{MS} , PS)
 - ▶ **Particulièrement avantageux pour les futurs collisionneurs (ILC...)**
- Motivations théoriques utilisent principalement m_{top}^{pole} .
- Ici: mesure de la masse injectée dans la simulation MC, i.e: les produits de désintégration ont une cinématique au NLO+LL en QCD
 - ▶ $m_{top}^{MC} \neq m_{top}^{pole}$, mais proche



1 Le LHC et ATLAS

2 Le quark top

- Introduction

- La masse du quark top

- Production et détection d'événements $t\bar{t}$ dans ATLAS

3 Calibration de l'échelle d'énergie des jets dans l'expérience ATLAS

4 Mesure de la masse dans le canal $\ell + \text{jets}$ à l'aide de la méthode des templates 3D

- Sélection et reconstruction des événements $t\bar{t}$

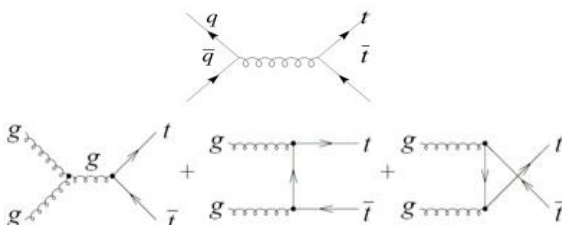
- Principe de la méthode

- Résultat obtenu dans les données à 7 TeV

- Perspectives à 8 TeV

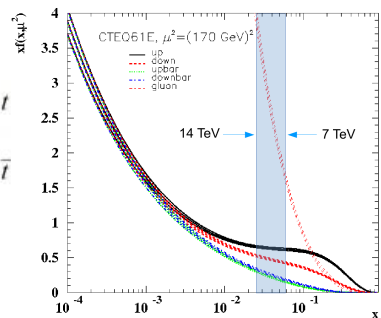
5 Résumé et plans futurs

Production d'événements $t\bar{t}$



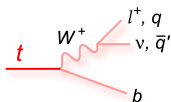
Modes de production de paires $t\bar{t}$

- Au seuil de production : $(2m_{top})^2 = x_a \times x_b \times s$
- \Rightarrow dominé par la fusion de gluons
- section efficace (7 TeV, NNLO+NNLL):
 $\sigma(t\bar{t}) = 177.3^{+10.1}_{-10.8} \text{ pb}$
 En 2011, $N_{events} \approx 885k$
- section efficace (8 TeV, NNLO+NNLL):
 $\sigma(t\bar{t}) = 252.9^{+13.3}_{-14.5} \text{ pb}$
 En 2012, $N_{events} \approx 5.1M$

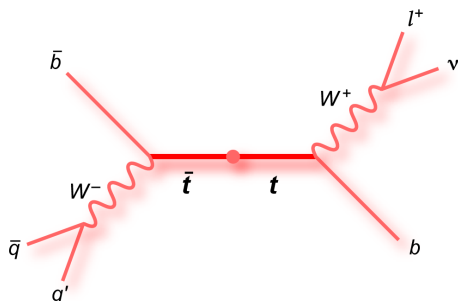


PDFs pour processus dur avec transfert d'impulsion
 $\mu^2 = 170^2 \text{ GeV}^2$ Vs fraction d'impulsion portée par le parton (x).

Modes de désintégration des paires $t\bar{t}$

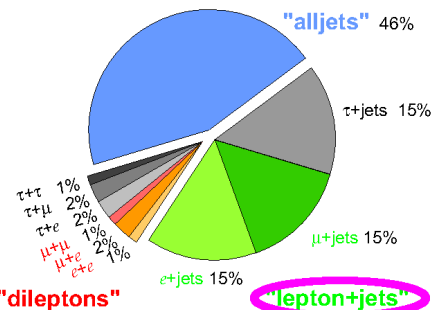


Modes de désintégration du quark top
(99.9% des cas)



Modes de désintégration de paires $t\bar{t}$ dans le canal lepton + jets

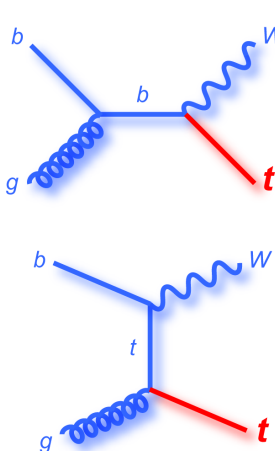
Top Pair Branching Fractions



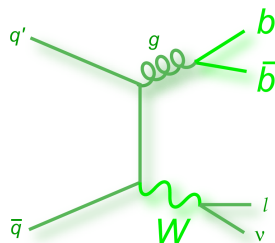
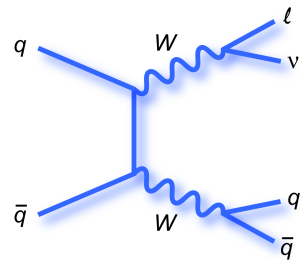
Rapports de branchement des désintégrations de paires $t\bar{t}$

Sélection d'événements semi-leptoniques

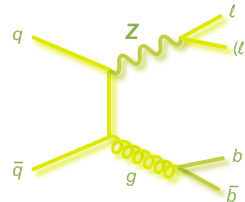
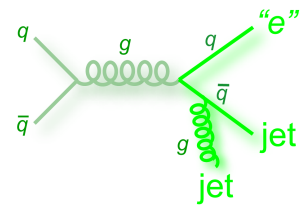
Bruits de fond



bruit de fond top célibataire

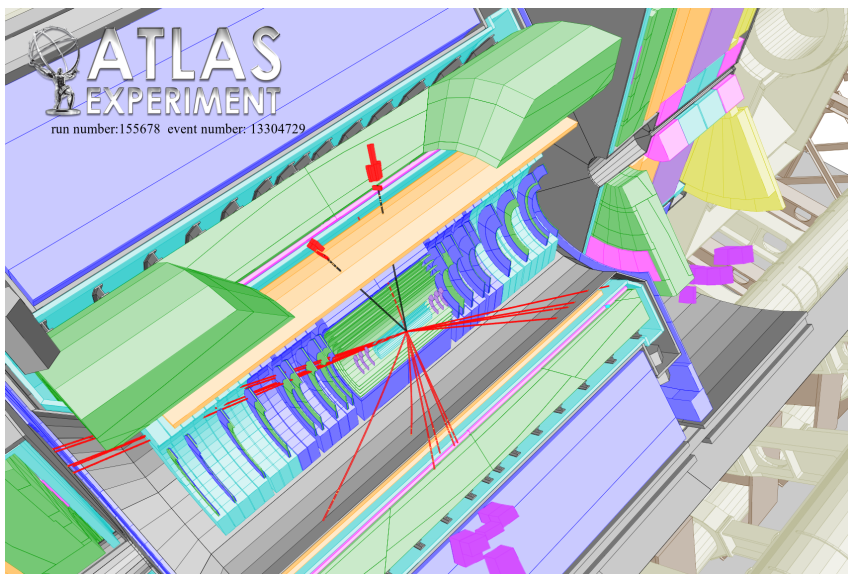
bruit de fond $W + \text{jets}$ 

bruit de fond diboson

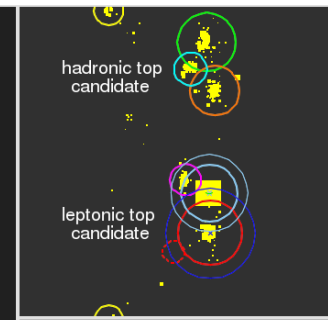
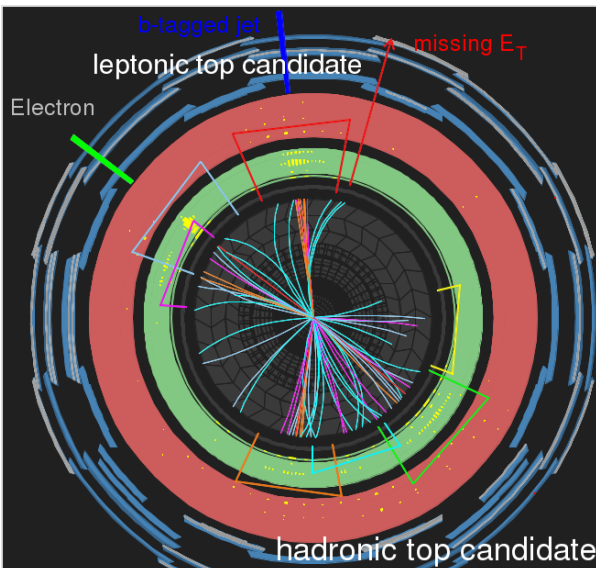
bruit de fond $Z + \text{jets}$ 

bruit de fond QCD multijets

candidat $t\bar{t}$, canal dilepton



candidat $t\bar{t}$, canal $\ell + \text{jets}$



ATLAS
EXPERIMENT

Run Number: 166658, Event Number: 34533931

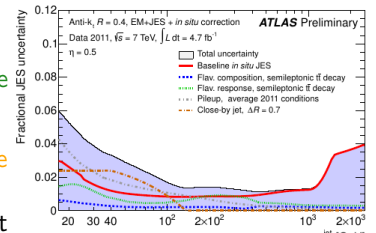
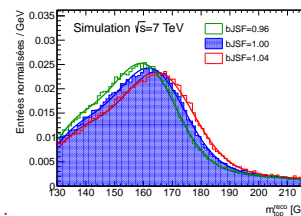
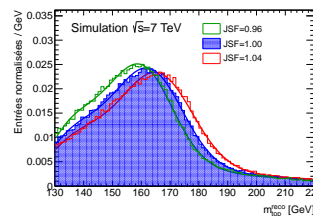
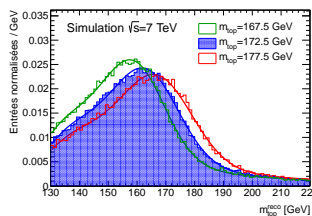
Date: 2010-10-11 23:57:42 CEST

└ Le quark top

└ Production et détection d'événements $t\bar{t}$ dans ATLAS

$\ell + \text{jets}$ channel: $t\bar{t} \rightarrow bWbW \rightarrow bq\bar{q}b\ell\nu$

- ▶ Utilisation de l'observable $m_{\text{top}}^{\text{reco}}$ hadronique pour mesurer la masse m_{top}
- ▶ Observable très sensible à l'échelle d'énergie des jets (JES)
⇒ incertitude systématique potentiellement élevée
 - ▶ 2^{eme} incertitude la plus grande (potentiellement): incertitude d'échelle d'énergie des jets de quark b relativement à celle des jets légers (bJES)

(a) $\eta = 0.5$ 

- ⇒ Tâche de qualification dans le groupe Jet/ E_T^{miss}
- ⇒ Amélioration de la technique d'analyse (3d-analysis)

1 Le LHC et ATLAS

2 Le quark top

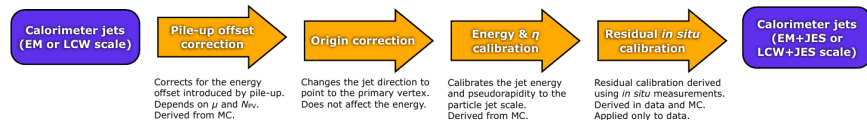
- Introduction
- La masse du quark top
- Production et détection d'événements $t\bar{t}$ dans ATLAS

3 Calibration de l'échelle d'énergie des jets dans l'expérience ATLAS

4 Mesure de la masse dans le canal $\ell + \text{jets}$ à l'aide de la méthode des templates 3D

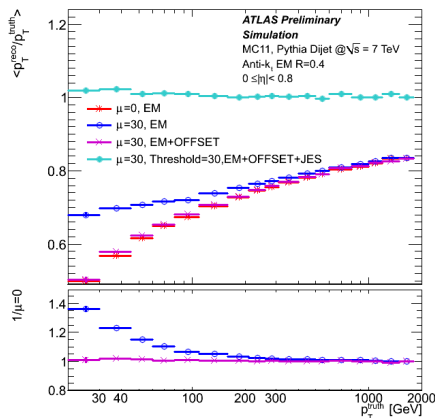
- Sélection et reconstruction des événements $t\bar{t}$
- Principe de la méthode
- Résultat obtenu dans les données à 7 TeV
- Perspectives à 8 TeV

5 Résumé et plans futurs



Ingrédients principaux:

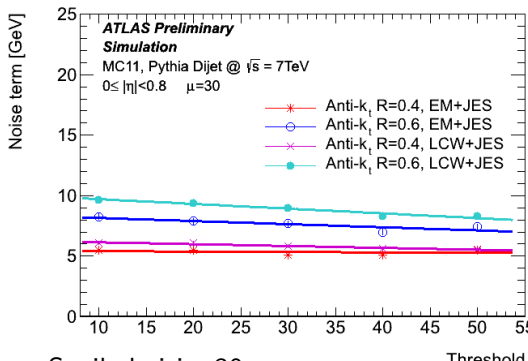
- **Correction en empilement** (“offset” ou “jet area”) (dérivée dans la simulation)
- **Calibration JES** (dérivée dans la simulation): réponse à 1 (dérivée dans la simulation)
- **Calibration résiduelle *in-situ*** appliquée aux données seulement (dérivée dans les données)



$$\text{Réponse} = \langle p_T^{\text{reco}} / p_T^{\text{vrai}} \rangle$$

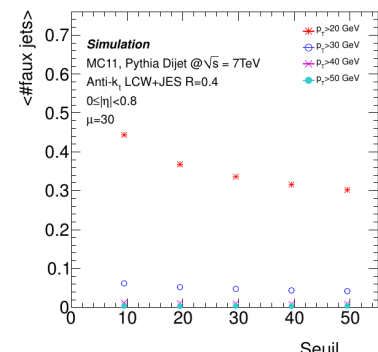
Résolution fractionnelle:

$$\frac{\sigma(p_T)}{p_T} = \sqrt{\frac{N^2}{p_T^{\text{truth}}{}^2} + \frac{S^2}{\sqrt{p_T^{\text{truth}}{}^2}} + C^2} \quad N \text{ dominant } (S \sim 0.7\sqrt{\text{GeV}}, C \sim 0.05)$$

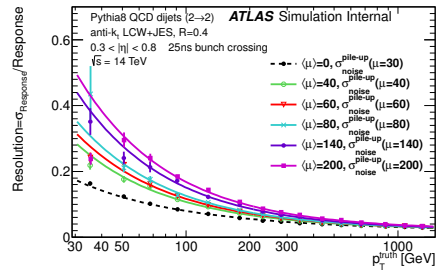
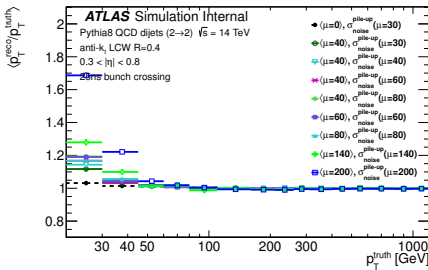


■ Seuil choisi : 30

- ▶ réduction du nombre moyen de faux jets par événement
- ▶ meilleure performance E_T^{miss}
- ▶ pas d'impact sur la résolution



Études à haute luminosité à 14 TeV – “muscan III”



- Défi en termes de calibration de JES à très haut $\langle \mu \rangle$ et bas p_T de jet
- Importante dégradation de la résolution avec $\langle \mu \rangle (\geq 50\% \text{ pour un jet de } p_T=50 \text{ GeV de } \langle \mu \rangle = 40 \text{ à } \langle \mu \rangle = 200)$
- Doit être aussi bas que possible pour les analyses de physique

└ Mesure de la masse dans le canal $\ell + \text{jets}$ à l'aide de la méthode des templates 3D

 └ Sélection et reconstruction des événements $t\bar{t}$

1 Le LHC et ATLAS

2 Le quark top

- Introduction
- La masse du quark top
- Production et détection d'événements $t\bar{t}$ dans ATLAS

3 Calibration de l'échelle d'énergie des jets dans l'expérience ATLAS

4 Mesure de la masse dans le canal $\ell + \text{jets}$ à l'aide de la méthode des templates 3D

- Sélection et reconstruction des événements $t\bar{t}$
- Principe de la méthode
- Résultat obtenu dans les données à 7 TeV
- Perspectives à 8 TeV

5 Résumé et plans futurs

└ Mesure de la masse dans le canal $\ell + \text{jets}$ à l'aide de la méthode des templates 3D

└ Sélection et reconstruction des événements $t\bar{t}$

- 1 vertex primaire (d'interaction) avec au moins 5 traces

- Sélection du lepton (ayant déclenché le système de détection)

- ▶ Exactement 1 lepton avec $p_t > 20(25)$ GeV dans le canal muon (électron), $|\eta|$ dans l'acceptance du détecteur
- ▶ Plusieurs coupures de qualité
- ▶ Isolé (pas de jet près du lepton)
- ▶ Coupure sur le paramètre d'impact longitudinal ($z_0 < 2$ mm)

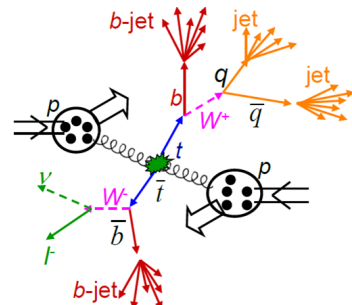
- Sélection des jets

- ▶ ≥ 4 bons jets avec au moins 1 jet étiqueté b et 2 jets non étiquetés b, avec $|\eta| < 2.5$, $p_T > 25$ GeV

- Coupures sur E_T^{miss} et $M_T^{\text{lepton,neutrino}}$ (m_W^T) :

- ▶ e+jets: $E_T^{\text{miss}} > 30$ GeV, $m_W^T > 30$ GeV
- ▶ $\mu + \text{jets}$: $E_T^{\text{miss}} > 30$ GeV, $m_W^T + E_T^{\text{miss}} > 60$ GeV

- Reconstruction de l'événement à l'aide d'un maximum de vraisemblance cinématique (KLFitter): assignement des jets reconstruits aux partons b, \bar{b}, q, \bar{q}



Coupures additionnelles:

- exactement 2 jets de b
- $55 \text{ GeV} < m_W^{\text{reco}} < 110 \text{ GeV}$
- $130 \text{ GeV} < m_{\text{top}}^{\text{reco}} < 220 \text{ GeV}$
- $0.3 < R_{\text{lb}}^{\text{reco}} < 3$

$$R_{\text{lb}}^{\text{reco}} = \frac{p_T^{blep} + p_T^{bhad}}{W_{jet1} + W_{jet2}}$$

Canal	e+jets	$\mu + \text{jets}$
Processus	Sélection finale	
Signal $t\bar{t}$	2540.2 ± 242.5	4356.7 ± 416.1
Signal top célibataire	97.9 ± 6.9	161.2 ± 11.0
$W + \text{jets}$	27.2 ± 8.9	63.1 ± 20.2
$Z + \text{jets}$	8.0 ± 1.1	6.7 ± 1.0
Multijets	33.8 ± 43.9	37.0 ± 32.8
Dibosons	0.9 ± 0.2	1.8 ± 0.3
Total bruits de fond	69.8 ± 44.8	108.7 ± 38.6
Signal / Bruit	37.8	41.6
Total attendu	2708 ± 247	4627 ± 418
Total observé (4.7 fb^{-1})	2952 ± 54	5185 ± 72

Canal	e+jets	$\mu + \text{jets}$
Processus	Sélection finale	Sélection finale
Signal $t\bar{t}$	16252.0 ± 1046.0	25197.1 ± 1617.4
Signal top célibataire	576.3 ± 43.9	913.8 ± 65.7
$W + \text{jets}$	132.5 ± 11.5	333.6 ± 18.3
$Z + \text{jets}$	37.3 ± 6.6	55.2 ± 8.2
Multijets	-	-
Dibosons	2.5 ± 1.6	16.5 ± 4.2
Total bruits de fond	172.2 ± 13.3	405.3 ± 20.5
Signal / Bruit	97.7	64.4
Total attendu	17000.5 ± 1047.0	26516.2 ± 1618.9
Total observé (20.34 fb^{-1})	17535 ± 132	26684 ± 163

7 TeV

8 TeV

1 Le LHC et ATLAS

2 Le quark top

- Introduction
- La masse du quark top
- Production et détection d'événements $t\bar{t}$ dans ATLAS

3 Calibration de l'échelle d'énergie des jets dans l'expérience ATLAS

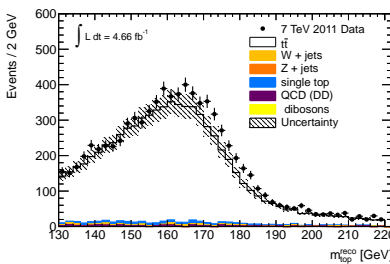
4 Mesure de la masse dans le canal $\ell + \text{jets}$ à l'aide de la méthode des templates 3D

- Sélection et reconstruction des événements $t\bar{t}$
- **Principe de la méthode**
- Résultat obtenu dans les données à 7 TeV
- Perspectives à 8 TeV

5 Résumé et plans futurs

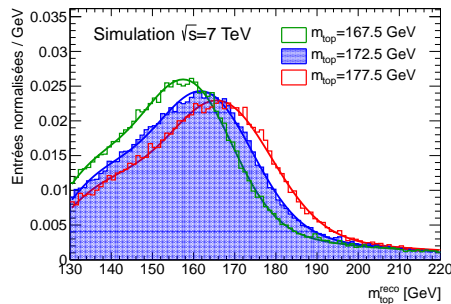
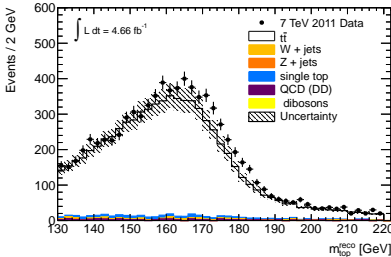
Principe de la méthode

- Utilise la distribution de masse reconstruite $m_{\text{top}}^{\text{reco}}$ pour mesurer la masse du quark top (sélection des trois jets du côté hadronique).

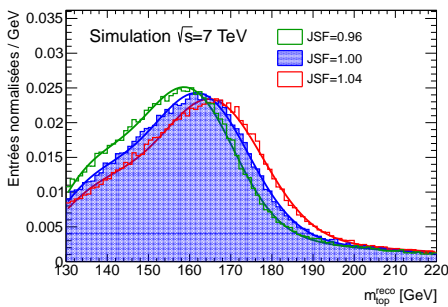


Principe de la méthode

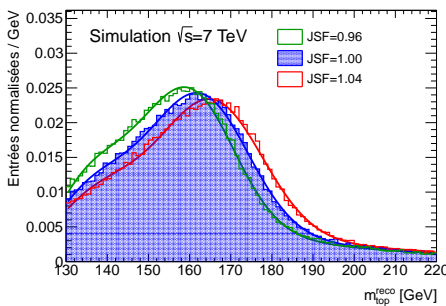
- Utilise la distribution de masse reconstruite $m_{\text{top}}^{\text{reco}}$ pour mesurer la masse du quark top (sélection des trois jets du côté hadronique).
- Construction de *templates* de cette observable à différentes masses de top en entrée.
- Comparaison entre données et simulation.



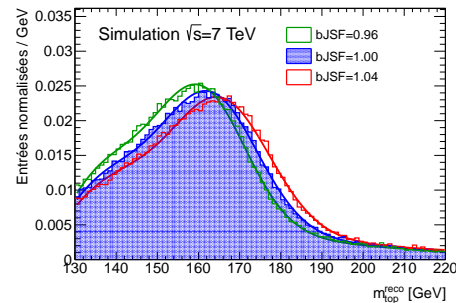
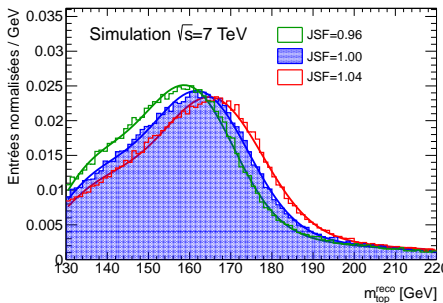
- Observable très sensible à l'échelle d'énergie des jets (JES)
⇒ Potentielle incertitude systématique importante



- Observable très sensible à l'échelle d'énergie des jets (JES)
⇒ Potentielle incertitude systématique importante
- Échelle d'énergie des jets actuellement connue à une précision de l'ordre du %

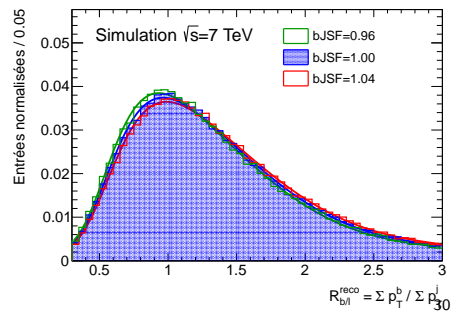
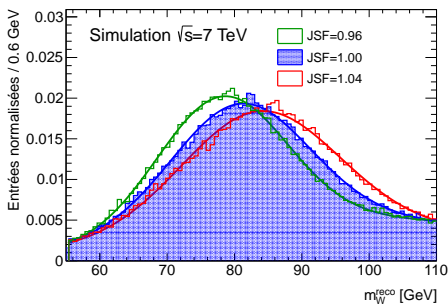


- Observable très sensible à l'échelle d'énergie des jets (JES)
⇒ Potentielle incertitude systématique importante
- Échelle d'énergie des jets actuellement connue à une précision de l'ordre du %
- 2^{nde} plus importante incertitude potentielle: échelle d'énergie relative des jets de quarks b (bJES)



- L'analyse 3D réduit drastiquement les incertitudes dues à la JES et à la bJES, utilisant des contraintes in-situ de l'échelle d'énergie des jets (JSF) de l'échelle d'énergie relative des jets de b (bJSF) à partir de la masse du W hadronique reconstruit m_W^{reco} et de l'observable $R_{\text{lb}}^{\text{reco}}$ de chaque événement.
- $R_{\text{lb}}^{\text{reco}}$ sensible aux changements de l'échelle d'énergie relative des jets de b (bJSF):

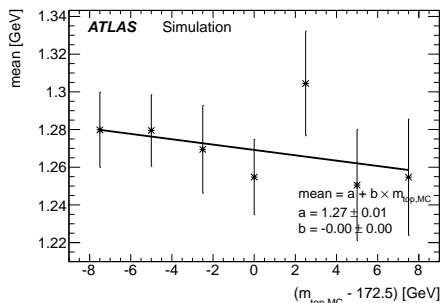
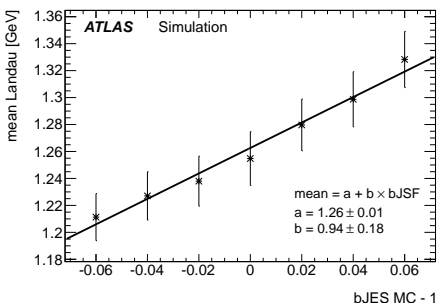
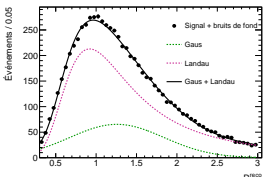
► $R_{\text{lb}}^{\text{reco}} = \frac{p_T^{\text{blep}} + p_T^{\text{bhad}}}{W_{\text{jet}1} + W_{\text{jet}2}} \quad (\text{2b-tagged jet events}) \quad \text{ATLAS-CONF-2013-046}$



$$R_{\text{b/l}}^{\text{reco}} = \sum p_T^b / \sum p_T^j$$

30/54

- Ajustement de R_{lb}^{reco} par Landaus+Gaus
- m.p.v de la distribution de Landau vs bJSF et m_{top}
(plages de variations équivalentes pour $m_{\text{top}}^{\text{reco}}$)



- Contraintes sur bJES
- dépendance en m_{top} résiduelle prise en compte dans la PDF

- Ajustements de templates réalisés à 5 points de masse \times 5 JSFⁱⁿ \times 5 bJSFⁱⁿ
- PDFs construites à partir des prédictions (signal et bruits de fond)

Vraisemblance finale:

$$\begin{aligned} \mathcal{L}_{\text{shape}}(m_{\text{top}}^{\text{reco}}, m_W^{\text{reco}}, R_{\text{lb}}^{\text{reco}} | m_{\text{top}}, \text{JSF}, \text{bJSF}) &= \\ \prod_{i=1}^N P_{\text{top}}(m_{\text{top}}^{\text{reco}} | m_{\text{top}}, \text{JSF}, \text{bJSF})_i &\times \\ P_W(m_W^{\text{reco}} | \text{JSF})_i &\times \\ P_{\mathcal{R}_{\text{lb}}}(R_{\text{lb}}^{\text{reco}} | m_{\text{top}}, \text{bJSF})_i \end{aligned}$$

- Méthode validée avec des pseudo-expériences dans la simulation
- Extraction de m_{top} : maximisation de la vraisemblance dans les données (*unbinned likelihood fit*)
 - ▶ Ajustement simultané des 3 observables, contrainte in-situ du JSF et du bJSF

└ Mesure de la masse dans le canal $\ell + \text{jets}$ à l'aide de la méthode des templates 3D

└ Résultat obtenu dans les données à 7 TeV

1 Le LHC et ATLAS

2 Le quark top

- Introduction
- La masse du quark top
- Production et détection d'événements $t\bar{t}$ dans ATLAS

3 Calibration de l'échelle d'énergie des jets dans l'expérience ATLAS

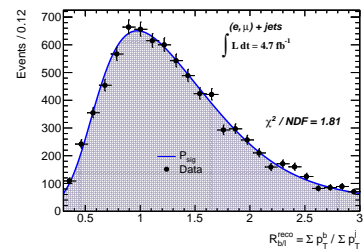
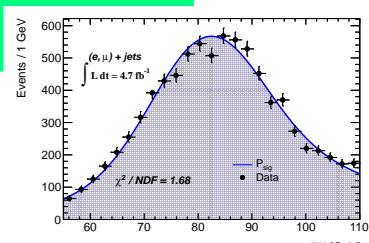
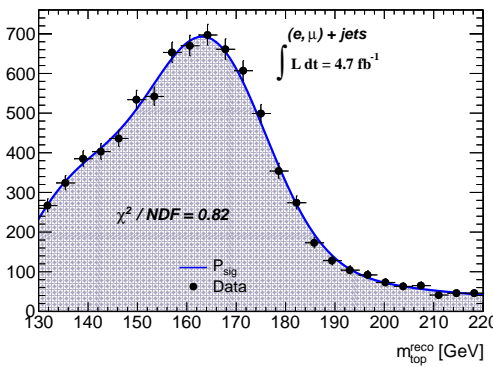
4 Mesure de la masse dans le canal $\ell + \text{jets}$ à l'aide de la méthode des templates 3D

- Sélection et reconstruction des événements $t\bar{t}$
- Principe de la méthode
- **Résultat obtenu dans les données à 7 TeV**
- Perspectives à 8 TeV

5 Résumé et plans futurs

Résultats de l'ajustement tridimensionnel

$$\begin{aligned} m_{\text{top}} &= 172.01 \pm 0.92 \text{ (stat + JSF + bJSF)} \pm 1.17 \text{ (syst) GeV}, \\ JSF &= 1.0158 \pm 0.0032, \\ bJSF &= 1.0115 \pm 0.0102. \end{aligned}$$



- └ Mesure de la masse dans le canal $\ell + \text{jets}$ à l'aide de la méthode des templates 3D
 - └ Résultat obtenu dans les données à 7 TeV

Incertitudes

L'analyse 2D réfère à une analyse avec une contrainte sur la JSF mais sans contrainte sur la bJSF (mesure précédente d'ATLAS)

	analyse 2D	analyse 3D
Valeur mesurée	172.88	172.01
Incertaine statistique	0.28	0.28
JSF (statistique)	0.30	0.29
bJSF (statistique)	0.00	0.82
Calibration de la méthode	0.16 ± 0.04	0.09 ± 0.10
Générateur Monte-Carlo du signal	0.25 ± 0.11	0.05 ± 0.29
Modèle d'hadronisation	1.24 ± 0.12	0.27 ± 0.22
Événement sous-jacent	0.12 ± 0.15	0.09 ± 0.22
Reconnection de couleur	0.03 ± 0.12	0.16 ± 0.23
ISR/FSR	0.94 ± 0.06	0.49 ± 0.11
PDF du proton	0.05 ± 0.01	0.16 ± 0.02
Bruit de fond $W + \text{jets}$	0.01	0.07
Bruit de fond multijets	0.03	0.11
JES	0.38 ± 0.08	0.56 ± 0.19
bJES	0.81 ± 0.01	0.04 ± 0.03
Résolution en énergie des jets	0.28 ± 0.08	0.27 ± 0.11
Efficacité de reconstruction des jets	0.00 ± 0.01	0.01 ± 0.01
Étiquetage des jets de b	0.13 ± 0.01	0.75 ± 0.02
E_T^{miss}	0.05 ± 0.01	0.09 ± 0.03
Empilement	0.01 ± 0.00	0.01 ± 0.00
Incertaine systématique totale	1.85 ± 0.08	1.17 ± 0.31
Incertaine totale	1.90 ± 0.08	1.48 ± 0.31

- 2→3D: Large amélioration:
 - ▶ Hadronisation
 - ▶ ISR/FSR
 - ▶ incertitude sur la bJES
- Augmentation de l'incertitude sur le b -tagging
- Incertaine systématique totale chute de 1.85 à 1.17 GeV
- Incertaine totale chute de 1.90 à 1.48 GeV
- Incertaine dominante : JES (dépendance de l'incertaine dans l'espace des phases)

└ Mesure de la masse dans le canal $\ell + \text{jets}$ à l'aide de la méthode des templates 3D

└ Perspectives à 8 TeV

1 Le LHC et ATLAS

2 Le quark top

- Introduction
- La masse du quark top
- Production et détection d'événements $t\bar{t}$ dans ATLAS

3 Calibration de l'échelle d'énergie des jets dans l'expérience ATLAS

4 Mesure de la masse dans le canal $\ell + \text{jets}$ à l'aide de la méthode des templates 3D

- Sélection et reconstruction des événements $t\bar{t}$
- Principe de la méthode
- Résultat obtenu dans les données à 7 TeV
- Perspectives à 8 TeV

5 Résumé et plans futurs

- Utilisation de la même méthode que pour l'analyse des données à 7 TeV
- Étiquetage des jets de b avec deux étalonnages différents
 - ▶ Étalonnage standard (groupe Top ATLAS): basé sur des événements dijet (noir)
 - ▶ Étalonnage préliminaire, basé sur une combinaison $t\bar{t} + \text{dijet}$ (red)

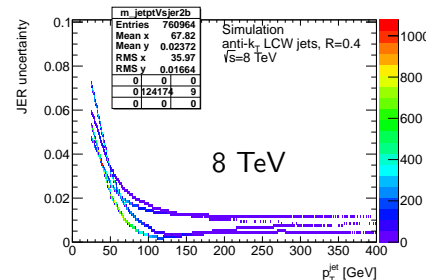
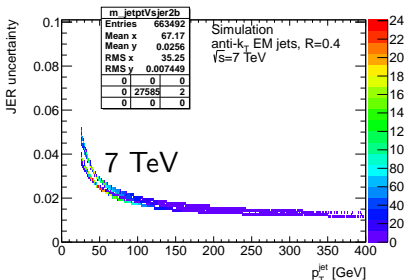
Systematics	7 TeV (CONF Note)	8 TeV
Method Calibration	0.13	0.16
Signal MC generator	0.19 ± 0.29	0.27
Herwig/Pythia	0.27 ± 0.22	0.22
ISR/FSR	0.45 ± 0.11	0.42
Jet energy scale	0.79	0.48
B-Jet energy scale	0.08 ± 0.03	0.14
B-tagging efficiency	0.81	1.82
		0.49
Jet energy resolution	0.22 ± 0.11	0.61
Jet efficiency	0.05 ± 0.01	0.05
Met resolution	0.03	0.02
Total Syst.	1.29	2.06
Data statistics	0.76	0.39
Total	1.50	2.10
		1.16

Incertitude sur la masse du quark top (in GeV)

- Importante amélioration prévue avec la nouvelle calibration d'étiquetage des b
- Augmentation d'un facteur 2–3 de l'incertitude sur la résolution ($7 \rightarrow 8$ TeV).

- Réduction possible de l'incertitude sur la JES (nouvel étalonnage)

- Incertitude sur la JER Vs p_T pour chaque jet utilisé dans les observables (après sélection finale) dans le MC $t\bar{t}$
- Bins en $|\eta|$: $0 < 0.8 < 1.2 < 2.1 < 2.8$



- \Rightarrow Plus grande dépendance en p_T et η de l'incertitude sur la JER @8 TeV
- Impact non négligeable sur la forme de R_{lb}^{reco} (4 p_T de jets dans sa définition) \rightarrow problème spécifique à l'analyse 3D
- Pas de changement notable avec des coupures en p_T sur les jets
- Amélioration possible grâce à une nouvelle incertitude sur la JER

Incertitude prévisionnelle à $\sqrt{s} = 8 \text{ TeV}$

m_{top} uncertainty in GeV		
dim	3D	
Problem. Syst.	Current eval.	Poss. improvement
B-tagging	1.82	0.49
JES	0.48	0.29
bJES	0.14	-
Hadronisation	0.22	-
JER	0.61	0.3 ??? new JER
ISR/FSR	0.42	Room for improvement
Total above	1.98	0.81
Estimated total	2.1	0.96

- Espoir d'améliorations grâce aux prochaines contributions du groupe de performance Jet/ $E_{\text{T}}^{\text{miss}}$
- La contrainte sur ISR/FSR n'est pas optimale
 - ▶ ⇒ Amélioration possible mais aucune étude prévue

1 Le LHC et ATLAS

2 Le quark top

- Introduction
- La masse du quark top
- Production et détection d'événements $t\bar{t}$ dans ATLAS

3 Calibration de l'échelle d'énergie des jets dans l'expérience ATLAS

4 Mesure de la masse dans le canal $\ell + \text{jets}$ à l'aide de la méthode des templates 3D

- Sélection et reconstruction des événements $t\bar{t}$
- Principe de la méthode
- Résultat obtenu dans les données à 7 TeV
- Perspectives à 8 TeV

5 Résumé et plans futurs

- m_{top} mesurées dans cette thèse:

- ▶ 7 TeV: $m_{\text{top}} = 172.01 \pm 1.48$ (0.92 (stat) 1.17 (syst)) GeV
- ▶ 8 TeV: $m_{\text{top}} = ??? \pm 1.19$ (0.39 (stat) 1.12 (syst)) GeV
- ▶ Combinaison: $m_{\text{top}} = ??? \pm 1.16$ (0.37 (stat) 1.10 (syst)) GeV

- Autres mesures individuelles les plus précises:

- ▶ CMS à $\sqrt{s} = 7$ TeV, canal $\ell + \text{jets}$: $m_{\text{top}} = 173.49 \pm 1.06$ GeV.
- ▶ CMS à $\sqrt{s} = 8$ TeV, canal $\ell + \text{jets}$: $m_{\text{top}} = 172.04 \pm 0.75$ GeV (résultat préliminaire)
- ▶ DØ, canal $\ell + \text{jets}$: $m_{\text{top}} = 174.98 \pm 0.76$ GeV
- ▶ CDF, canal $\ell + \text{jets}$: $m_{\text{top}} = 172.85 \pm 1.12$ GeV.

- Combinaison mondiale: $m_{\text{top}} = 173.34 \pm 0.76$ GeV (11 mesures)

- NB1: CMS n'évalue pas l'hadronisation (Herwig/Pythia) sur les événements $t\bar{t}$ ($+0.58(0.33)$ GeV incertitude systématique dans le résultat de 2011(2012))

- NB2: CMS n'évalue pas l'incertitude sur la bJES de la même façon que les autres expériences.

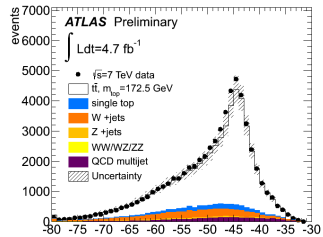
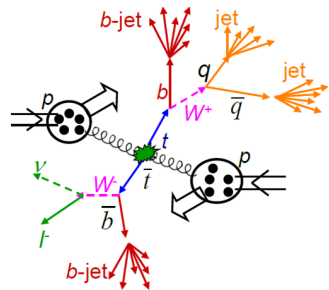
- NB3: Résultats les plus précis (CMS-DØ) à 2.75σ l'un de l'autre (proba < 1%)

- Travail dans le groupe Jet/ E_T^{miss}
 - ▶ optimisation des seuils de bruit de fond
 - ▶ Validations de calibrations
 - ▶ Performance à très haute luminosité
- Première (et seule) mesure de m_{top} (à $\sqrt{s} = 7 \text{ TeV}$) avec une méthode 3D qui constraint le bJSF
 - ▶ Incertitudes réduites dans un papier en finalisation (+ combinaison avec canal dilepton)
- Efforts sur la mesure à 8 TeV en cours (incertitude totale prévisionnelle 0.9-1.2 GeV)
- Extrapolations à très haute luminosité intégrée CMS-PAS-FTR-13-017
 - ▶ Précision atteignable: 0.44 GeV à 300 fb^{-1}
 - ▶ Un des point-clefs: méthode 3D de cette thèse
- Soutenance de thèse le 19 Juin à 14h, Amphi Bloch (Iph)

BACKUP

Event reconstruction

- $\ell + \text{jets}$ cut-based selection
- Kinematic likelihood fit
 - ▶ Choose the event topology that best fits the decay hypothesis
 - ▶ handles non-Gaussian behaviour
- Product of:
 - ▶ Breit-Wigner constraints
 - ▶ Transfer functions
 - Based on reconstructed objects matched to their parton level quarks and leptons
 - ▶ b -tagging weight (b -tagging information reduces combinatoric background)
- 70% reconstruction purity
- 58% reconstruction efficiency



Kinematic likelihood fit

$$\begin{aligned}
 L = & \mathcal{T}(E_{\text{jet}_1} | \hat{E}_{b_{\text{had}}}) \cdot \mathcal{T}(E_{\text{jet}_2} | \hat{E}_{b_\ell}) \cdot \mathcal{T}(E_{\text{jet}_3} | \hat{E}_{q_1}) \cdot \\
 & \mathcal{T}(E_{\text{jet}_4} | \hat{E}_{q_2}) \cdot \mathcal{T}(E_x^{\text{miss}} | \hat{p}_{x,\nu}) \cdot \mathcal{T}(E_y^{\text{miss}} | \hat{p}_{y,\nu}) \cdot \\
 & \left\{ \begin{array}{ll} \mathcal{T}(E_e | \hat{E}_e) & \text{e+jets} \\ \mathcal{T}(p_{T,\mu} | \hat{p}_{T,\mu}) & \mu+\text{jets} \end{array} \right\} \cdot \\
 & \mathcal{B}[m(q_1 q_2) | m_W, \Gamma_W] \cdot \mathcal{B}[m(\ell \nu) | m_W, \Gamma_W] \cdot \\
 & \mathcal{B}[m(q_1 q_2 b_{\text{had}}) | m_{\text{top}}^{\text{reco}}, \Gamma_{\text{top}}] \cdot \\
 & \mathcal{B}[m(\ell \nu b_\ell) | m_{\text{top}}^{\text{reco}}, \Gamma_{\text{top}}] \cdot W_{\text{bttag}}.
 \end{aligned}$$

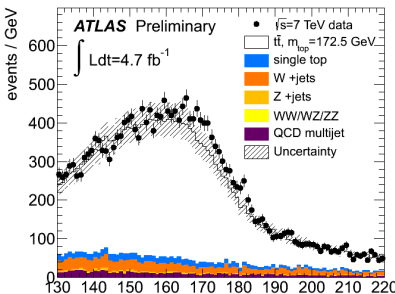
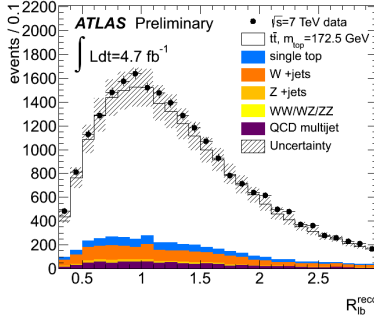
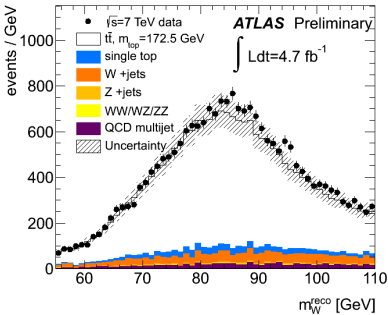
Top mass: MC samples and systematic uncertainties

- Some systematics are evaluated with the difference between the fitted masses in two samples:
 - ▶ default MC sample: Powheg+Pythia Perugia2011C
 - ▶ Hadronisation: Powheg+Pythia P2011C Vs Powheg+Herwig
 - ▶ Generator: Powheg+Herwig Vs MCAtNLO+Herwig
 - ▶ ISR/FSR: AcerMC+Pythia P2011C Less Vs More Parton Shower
 - Constraint on gap fraction from data
 - ▶ Underlying Event: Powheg+Pythia P2011 Vs Powheg+Pythia P2011 with different multiple parton interactions (MPI) tune
 - ▶ Color Reconnection: Powheg+Pythia P2011 Vs Powheg+Pythia P2011 with different color reconnection tune (NOCR tune)
- PDF systematic uncertainty using PDF4LHC recommendations
- Other systematics: fitting m_{top} after varying parameter by 1σ

Top mass: JES uncertainty (3d-analysis)

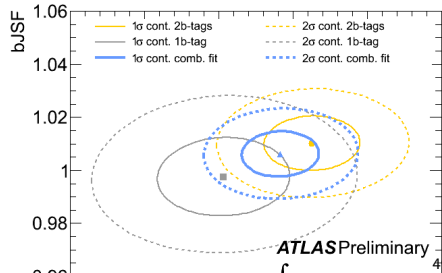
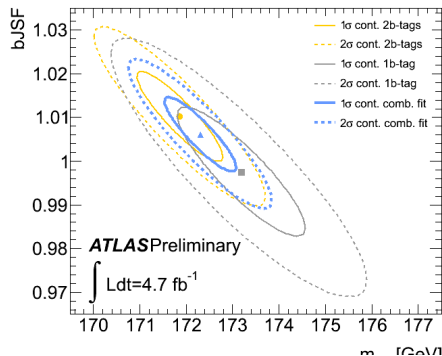
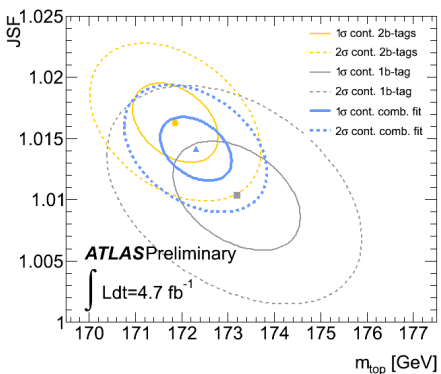
Dimension		2D	3D
Composante	Incertitude [GeV]		
Statistique		0.10 ± 0.02	0.18 ± 0.04
PN Effectif Statistique1		0.10 ± 0.01	0.16 ± 0.02
PN Effectif Statistique2		0.00 ± 0.01	0.02 ± 0.01
PN Effectif Statistique3		0.01 ± 0.01	0.04 ± 0.02
EtaIntercalibration TotalStat		0.02 ± 0.01	0.05 ± 0.02
Modélisation		0.20 ± 0.04	0.38 ± 0.10
PN Effectif Modélisation1		0.16 ± 0.01	0.30 ± 0.03
PN Effectif Modélisation2		0.02 ± 0.01	0.01 ± 0.02
PN Effectif Modélisation3		0.09 ± 0.03	0.14 ± 0.09
PN Effectif Modélisation4		0.01 ± 0.01	0.00 ± 0.01
EtaIntercalibration Modélisation		0.07 ± 0.01	0.18 ± 0.03
Détecteur		0.01 ± 0.02	0.06 ± 0.04
PN Effectif Détecteur1		0.01 ± 0.02	0.06 ± 0.04
PN Effectif Détecteur2		0.01 ± 0.01	0.01 ± 0.02
Mixe		0.03 ± 0.01	0.04 ± 0.02
PN Effectif Mixel		0.02 ± 0.01	0.00 ± 0.01
PN Effectif Mixe2		0.02 ± 0.01	0.04 ± 0.02
Simple Particule Haut p_T		0.00 ± 0.00	0.00 ± 0.00
Non-fermeture relative MC11b		0.07 ± 0.03	0.20 ± 0.07
Correction d'empilement		0.01 ± 0.02	0.06 ± 0.05
Correction d'empilement ($\langle \mu \rangle$)		0.00 ± 0.02	0.05 ± 0.04
Correction d'empilement (N_{PV})		0.01 ± 0.01	0.02 ± 0.03
Jets environnants		0.09 ± 0.01	0.15 ± 0.03
Saveur		0.28 ± 0.05	0.26 ± 0.11
Composition de saveur		0.13 ± 0.04	0.02 ± 0.11
Réponse de saveur		0.25 ± 0.01	0.26 ± 0.02
bJES		0.81 ± 0.01	0.04 ± 0.03
Total (sans inc. la bJES)		0.38 ± 0.08	0.56 ± 0.19

- Splitting the uncertainty into various nuisance parameters
 - ▶ In view of combinations
 - ▶ Better treatment of correlations
- bJES uncertainty is lowered to < 100 MeV (was 1.5 GeV in latest ATLAS measurement)

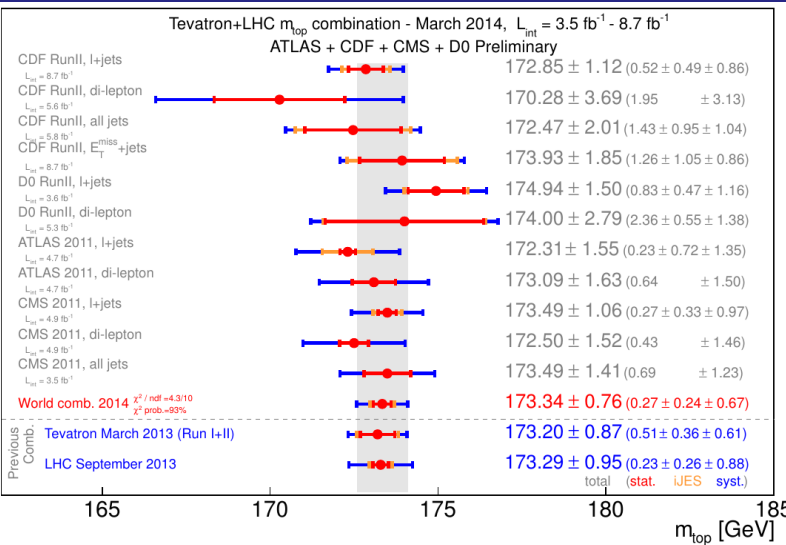


Top mass – observables

$\geq 1 b$ -tagged (combined samples)
 Only the shapes are relevant – The shifts are what we measure



1- σ and 2- σ 2D contour plots



Converged after many many discussions on the evaluation of systematic uncertainties...

ATLAS vs CMS uncertainties

Uncertainty	ATLAS		CMS			World Combination
	$l+$ jets	di- l	$l+$ jets	di- l	all jets	
m_{top}	172.31	173.09	173.49	172.50	173.49	173.34
Stat	0.23	0.64	0.27	0.43	0.69	0.27
iJES	0.72	n.a.	0.33	n.a.	n.a.	0.24
stdJES	0.70	0.89	0.24	0.78	0.78	0.20
flavourJES	0.36	0.02	0.11	0.58	0.58	0.12
bJES	0.08	0.71	0.61	0.76	0.49	0.25
MC	0.35	0.64	0.15	0.06	0.28	0.38
Rad	0.45	0.37	0.30	0.58	0.33	0.21
CR	0.32	0.29	0.54	0.13	0.15	0.31
PDF	0.17	0.12	0.07	0.09	0.06	0.09
DetMod	0.23	0.22	0.24	0.18	0.28	0.10
b -tag	0.81	0.46	0.12	0.09	0.06	0.11
LepPt	0.04	0.12	0.02	0.14	n.a.	0.02
BGMC	n.a.	0.14	0.13	0.05	n.a.	0.10
BGData	0.10	n.a.	n.a.	n.a.	0.13	0.07
Meth	0.13	0.07	0.06	0.40	0.13	0.05
MHI	0.03	0.01	0.07	0.11	0.06	0.04
Total Syst	1.53	1.50	1.03	1.46	1.23	0.71
Total	1.55	1.63	1.06	1.52	1.41	0.76

- iJES: statistical uncertainty due to in-situ JSF/bJSF determination ($\ell+$ jets: 3D ATLAS vs 2D CMS)
- std JES $\ell+$ jets: using (now) old uncertainty, improved for paper
- bJES: in-situ constrained in ATLAS $\ell+$ jets analysis
- MC ATLAS including hadronisation variation Herwig/Pythia (not CMS) (evaluated at 0.76 GeV dilepton)
- b -tagging ATLAS: high impact on analysis (will be developed in the following)
- All-hadronic channel treated in more detail in the following

CMS latest result – $\ell + \text{jets}$ 8 TeV

CMS PAS TOP-14-001

- Preliminary result presented in Moriond
- New CMS combination: 0.73 GeV uncertainty = 0.42% precision
- No direct evaluation of hadronisation uncertainty in $t\bar{t}$ selection (evaluated at 0.33 GeV)
- Color reconnection down by a factor 8

	$\ell + \text{jets}$		δm_t^{2D} (GeV)	δJSF
	$\delta_{m_t}^\ell$ (GeV)	δ_{JES}^ℓ		
Experimental uncertainties				
Fit calibration	0.06	0.001	0.10	0.001
b-JES	0.61	0.000	0.18	0.007
p_T - and η -dependent JES	0.28	0.001	0.03	<0.001
Lepton energy scale	0.02	0.000	0.09	0.001
Missing transverse momentum	0.06	0.000	0.26	0.004
Jet energy resolution	0.23	0.004	0.02	<0.001
b tagging	0.12	0.001	0.27	0.005
Pileup	0.07	0.001	0.11	0.001
Non- $t\bar{t}$ background	0.13	0.001	0.41	0.004
Modeling of hadronization				
Parton distribution functions	0.07	0.001	0.06	0.001
Renormalization and factorization scales	0.24	0.004	0.16	<0.001
ME-PS matching threshold	0.18	0.001	0.09	0.001
Underlying event	0.15	0.002	0.12±0.13	0.004±0.001
Color reconnection effects	0.54	0.004	0.15±0.13	0.003±0.001
Total	0.98	0.008	0.23±0.14	0.003±0.001
Modeling of the hard scattering process				
PDF			0.09	0.001
Renormalization and factorization scales			0.12±0.13	0.004±0.001
ME-PS matching threshold			0.15±0.13	0.003±0.001
ME generator			0.23±0.14	0.003±0.001
Modeling of non-perturbative QCD				
Underlying event			0.14±0.17	0.002±0.002
Color reconnection modeling			0.08±0.15	0.002±0.001
Total			0.75	0.012

7 TeV

8 TeV

D0 latest result – $\ell + \text{jets}$

FERMILAB-PUB-14-123-E

- Updating from 3.6 fb^{-1} to 9.7 fb^{-1} amount of data
- Matrix element method with in-situ JES calibration using m_W^{reco}
- Total uncertainty: $0.76 \text{ GeV} = 0.43\%$ precision
- Increase of MC stat, Refine treatment of signal modelling unc., Use of new JES calibrations

Source	Uncertainty (GeV)	Source of uncertainty	Effect on m_t (GeV)
<i>Modeling of production:</i>			
<i>Modeling of signal:</i>			
Higher-order effects	± 0.25	Higher order corrections	+0.15
ISR/FSR	± 0.26	Initial/final state radiation	± 0.09
Hadronization and UE	± 0.58	Hadronization and UE	+0.26
Color reconnection	± 0.28	Color reconnection	+0.10
Multiple $p\bar{p}$ interactions	± 0.07	Multiple $p\bar{p}$ interactions	-0.06
Modeling of background	± 0.16	Heavy flavor scale factor	± 0.06
$W + \text{jets}$ heavy-flavor scale factor	± 0.07	b -jet modeling	+0.09
Modeling of b jets	± 0.09	PDF uncertainty	± 0.11
Choice of PDF	± 0.24	<i>Detector modeling:</i>	
<i>Modeling of detector:</i>			
Residual jet energy scale	± 0.21	Residual jet energy scale	± 0.21
Data-MC jet-response difference	± 0.28	Flavor-dependent response to jets	± 0.16
b -tagging efficiency	± 0.08	b tagging	± 0.10
Trigger efficiency	± 0.01	Trigger	+0.01
Lepton momentum scale	± 0.17	Lepton momentum scale	± 0.01
Jet energy resolution	± 0.32	Jet energy resolution	± 0.07
Jet identification efficiency	± 0.26	Jet ID efficiency	-0.01
<i>Method:</i>			
Multijet contamination	± 0.14	Modeling of multijet events	+0.04
Signal selection	± 0.10	Signal fraction	± 0.07
MC calibration	± 0.20	MC calibration	± 0.07
Total	± 1.02	Updated result	
<i>measurement</i>			
Total systematic uncertainty			± 0.49
Total statistical uncertainty			± 0.58
Total uncertainty			± 0.76

b-tagging syst uncertainty

